DOI: 10.13870/j.cnki.stbcxb.2025.04.022

CSTR: 32310.14.stbcxb.2025.04.022

李淑卓, 马维伟, 李广, 等.3年氮添加对高寒湿地草甸土壤可溶性氮组分的影响[J]. 水土保持学报, 2025, 39(4): 360-368.

LI Shuzhuo, MA Weiwei, LI Guang, et al. Effects of three-year nitrogen addition on soluble nitrogen fractions in wetland meadow soil[J]. Journal of Soil and Water Conservation, 2025, 39(4):360-368.

3年氮添加对高寒湿地草甸土壤可溶性氮组分的影响

李淑卓,马维伟,李广,杜佳团,贺万鹏

(甘肃农业大学林学院, 兰州 730070)

摘 要:[目的]为探究在全球长期氮沉降的背景下,高寒湿地草甸土壤可溶性氮组分的变化规律。[方法]选取青藏高原东北缘尕海湿地草甸土壤为研究对象,3年氮添加处理试验平台[CK(未添加氮)、N1 $(4.14\,\mathrm{g}\,\mathrm{NH}_4\mathrm{NO}_3)$ 、N2 $(6.12\,\mathrm{g}\,\mathrm{NH}_4\mathrm{NO}_3)$],研究土壤可溶性氮组分对氮添加的响应特征。[结果] 1)与CK相比,N1处理显著提高土壤硝态氮(NO₃-N)的质量分数(15.76%),N2处理显著提高土壤铵态氮(NH₄+-N)的质量分数(19.19%)(p<0.05)。2)不同氮添加处理下均表现为土壤可溶性有机氮(SON)密度最大(106.14 kg/hm²)、NO₃-N密度次之(92.41 kg/hm²)、NH₄+-N密度最低(91.18 kg/hm²)。3)N1处理下的 NO₃-N、NH₄+-N、SON密度占全氮(TN)比例变化较 N2处理下变化更为显著,N1处理能更好地提升土壤氮素供应潜力。4)PCA分析显示,氮添加对尕海高寒湿地草甸土壤可溶性氮组分特征有重要影响,N1处理下土壤可溶性氮组分主要受 SOC及 MBC的调节。[结论] 3 a氮添加处理下低氮处理提高高寒湿地草甸的可溶性氮组分,促进土壤氮素转化,高氮添加则反之。

关键词:高寒湿地草甸;外源氮添加;可溶性氮组分;硝态氮;铵态氮;土壤氮素循环

中图分类号:S812.2

文献标识码:A

文章编号:1009-2242(2025)04-0360-09

Effects of Three-year Nitrogen Addition on Soluble Nitrogen Fractions in Wetland Meadow Soil

LI Shuzhuo, MA Weiwei, LI Guang, DU Jiajian, HE Wanpeng

(College of Forestry, Gansu Agricultural University, Lanzhou 730070, China)

Abstract: [Objective] This study aimed to investigate the changing patterns of soluble nitrogen (N) fractions in alpine wetland meadow soils in the context of long-term global nitrogen deposition. [Methods] Taking the Gahai wetland meadow soil at the northeastern edge of the Qinghai-Xizangan Plateau as the research object, the characteristics of soil soluble N fractions in response to N addition were investigated, relying on the experimental platforms that had been treated with N addition for three years [CK (no added N), N1 (4.14 g NH₄NO₃) and N2 (6.12 g NH₄NO₃)]. [Results] 1) Compared to CK, the N1 treatment significantly increased the mass fraction of soil nitrate-nitrogen (NO₃-N) (15.76%), while the N2 treatment significantly increased the mass fraction of soil ammonium-nitrogen (NH₄+-N) (19.19%) (p<0.05). 2) Under different N addition treatments, soil soluble organic nitrogen (SON) density was the highest (106.14 kg/hm²), followed by NO₃-N density (92.41 kg/hm²), and NH₄+-N density was the lowest (91.18 kg/hm²). 3) The changes in the proportion of NO₃-N, NH₄+-N and SON densities to total nitrogen (TN) were more significant under the N1 treatment than that under the N2 treatment, indicating a better enhancement of soil N supply potential of the N1 treatment. 4) PCA analysis showed that N addition had an important effect on the characteristics of soil soluble N components in the alpine wetland meadow of Gahai. Soil soluble N fractions under the N1 treatment were mainly regulated by TN, while

资助项目:国家自然科学基金项目(31860143);2024年度中央引导地方科技发展资金项目(24ZYQA023);甘肃省教育厅产业支撑计划项目 (2025CYZC-042);2025年甘肃省高校研究生"创新之星"项目(2025CXZX-828);甘南黄河上游退化湿地固碳增汇技术研究与人才 培养项目(2024RCXM82)

第一作者:李淑卓(1999—),女,硕士研究生,主要从事湿地氮循环过程研究。E-mail:1052483209@qq.com

通信作者:马维伟(1980—),男,教授,博士,博士研究生导师,主要从事湿地碳氮循环过程研究。E-mail:mww-007@163.com

under the N2 treatment, they were mainly regulated by soil organic carbon and microbial biomass carbon. [Conclusion] Low N treatment can increase the soluble N fractions of alpine wetland meadow and promote soil N transformation, while high N addition can have the opposite effect.

Keywords: wetland meadow; exogenous nitrogen addition; soluble nitrogen fraction; nitrate-nitrogen; ammonium-nitrogen; soil nitrogen cycle

Received; 2024-12-28 **Revised**; 2025-03-28 **Accepted**; 2025-05-03 **Online**(www.cnki.net); 2025-05-26

大气氮沉降已经成为全球性的生态环境问题。 截至90年代初,中国已成为仅次于北美和西欧的全 球第三大氮沉降区域[1]。植被生长与土壤养分周转 长期受氮限制影响,而氮沉降的增加可缓解该限制 效应,氮沉降导致植被输送到土壤的养分发生变化, 改变土壤表层的碳氮分布[2]。氮沉降一方面提高土 壤氮的有效性;另一方面,引起土壤酸化及温室气体 排放量上升,此变化共同作用于土壤碳、磷等元素的 循环动态[3]。湿地作为陆地生态系统重要的氮库之 一,面对大气氮沉降全球变化响应敏感。氮素输入 在引起湿地生态系统养分循环和能量流动的同时[4], 也引起土壤养分供应不均衡的问题,进而导致湿地 生态系统的净初级生产力发生深刻变化[5]。因此,研 究氮沉降对湿地土壤氮库的影响对于理解未来氮沉 降背景下湿地土壤氮素供应及其生产力的提高具有 重要意义。

可溶性氮组分包括有机态(SON)和无机态 (NO₃-N与NH₄+-N)2种形式^[5]。其中,无机氮组 分中的硝酸盐和铵盐能够被植物直接吸收,构成植 物获取氮素的主要途径[6]。NO3-N和NH4+-N可直 接被植物吸收利用,是植物氮素的主要来源;而 SON 既能通过矿化作用转化为矿质氮,也能被植物 直接吸收利用[7]。外源氮输入通过改变土壤中的生 物和非生物因素,进一步影响可溶性氮组分的质量 分数和组成[8]。对于天然常绿阔叶林的氮沉降研 究[9]表明,随着施氮量的增加显著降低土壤微生物 生物量碳氮质量分数,削弱土壤微生物转化土壤氮 素的能力,从而改变土壤可溶性氮组分的质量分数 和组成。但在稻田试验[10]中指出,氮添加进一步维 持土壤氮库保留能力,主要是通过促进SON淋溶, 提高土壤无机氮质量分数。同时,TIAN等[10]进一 步研究指出,在氮沉降背景下,反硝化作用和植物 吸收作用将进一步增强,从而提升氮矿化速率,提 升土壤可溶性氮组分质量分数。但在过度氮添加 的试验中,植物和微生物活动受到抑制,从而进一 步降低土壤可溶性氮组分质量分数,与 TOMLINSON 等[11]的研究相似;但在盐化的芦苇 湿地,GUAN等[12]研究表明,氮沉降可增加土壤营养物质量分数、刺激土壤酶活性和增强植物生产来改善生态系统功能。因此,氮添加的影响复杂且多变,尚存在一些重要的研究缺口,尤其是关于氮添加对极高流动性和活跃性的可溶性氮组分在长期氮沉降背景下的理解不足。

湿地系统是典型的氮限制生态系统,而青藏高原拥有70%以上的湿地草甸地区^[13]。由于长期处于低温和缺氮条件,土壤氮库组成对氮沉降响应敏感^[14],随着氮沉降的持续增加,将进一步改变高寒湿地草甸地区的土壤可溶性氮组分组成。尽管高寒湿地在氮沉降背景下的研究已经陆续展开,但实测数据和结果的不均匀分布常常导致气候模型结构的准确性有限。因此,以青藏高原东北缘的尕海湿地草甸地区为研究对象,在连续3a不同浓度的氮添加处理的试验平台上,通过动态监测,研究土壤可溶性氮组分对氮添加的响应特征及其与环境因子间的相互关系,以期为高寒湿地草甸地区在长期氮沉降背景下土壤氮库管理提供依据。

1 材料与方法

1.1 样地概况

研究区位于青藏高原东缘的甘肃省甘南藏族自治州 尕海 — 则 岔 国 家 级 自 然 保 护 区 $(33^\circ 58'12'' \sim 34^\circ 32'16''N, 102^\circ 05'00'' \sim 102^\circ 47'39''E)$ 内,海 拔 $3430\sim 4300$ m,保 护 区 内 湿 地 面 积 57 846 hm²,保护区 内 湿 地 草 甸 面 积 51 160 hm²,主要 分 布 在 河谷底 部、湖 畔、积 水 滩 地 和 洼 地 。 该 地 区 年 平 均气温 $1.2^\circ C$,年 平 均 日 较差 $13.7^\circ C$,最热月 $(7 \, \beta)$ 平 均气温 $50.5^\circ C$,最冷月 $50.5^\circ C$,最为 $50.5^\circ C$,最为 $50.5^\circ C$,是 个 不 平 均 降 水 量 $50.5^\circ C$,所究 区 域 的 氮 沉 降 背 景 值 为 $50.5^\circ C$,一 不 死 反 域 的 氮 沉 降 背 景 值 为 $50.5^\circ C$,一 有 不 不 $50.5^\circ C$,一 有 京 下 $50.5^\circ C$,一 有 元 $50.5^\circ C$,一 元 $50.5^\circ C$,一

362 水土保持学报 第 39 卷

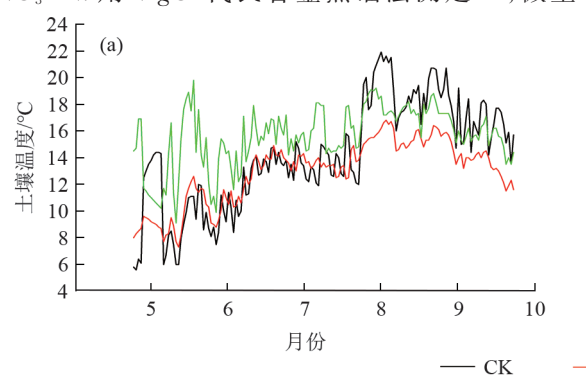
1.2 样地设置与土壤样品采集

氮添加试验处理开始于2021年5月。由于7一 9月为该区雨季,此时段氦沉降量相对较大,且是植 被生长季,故在5、7、9月中旬进行氦添加处理。选择 靠近尕海湖附近地下水位变化幅度较小、地势相对 平坦且植被盖度85%以上的湿地草甸[15],采用随机 区组试验,以自然生长小区为对照(CK),同时,布设 施氮 N1、N2 处理,每个处理 3 次重复,共计 9 个试验 小区,各小区面积约为4 m²(边长为2 m 的正方形), 小区间隔离带宽5m以上[13]。施氮量根据青藏高原 氮沉降背景值[10 kg/(m²·a)]的 2~3倍[约为 20、 30 kg/(m²·a)]进行添加处理[17]。选择NH4NO3作为 氮肥是因为容易被植被吸收,于每年5、7、9月中旬施 肥,每次分别将4.14gNH4NO3[N1:每次施加 0.724 5 kg/(m²·a)纯氮,3次共计2.173 5 kg/(m²·a), 即 20 kg/(m²·a)], 6.12 g NH₄NO₃[N2: 每次施加 1.071 kg/(m²·a) 纯氮, 3次共计 3.213 kg/(m²·a),即 30 kg/(m²·a)]溶解于2 L水中,然后采用喷雾器均匀 地喷洒到样方中,对照处理用同样体积的水进行 补充。

2024年5月,在已经连续氮添加3a的试验样地中进行土壤样品采集。具体为每个样地随机选取3个对角线点位,清除凋落物后进行采样,使用内径为5cm的土钻进行0~20cm的采样,取出的土壤样品带回实验室,进行土壤养分测定。分别于2024年的5月、6月、7月、8月、9月初取土,动态监测氮添加下湿地草甸土壤可溶性氮组分变化。同时,测定土壤体积质量,测得CK、N1、N2处理的体积质量分别为1.07、0.96、1.08 g/cm³。

1.3 指标测定与方法

土壤体积质量采取环刀法进行测定。全氮(TN) 用半微量凯氏法测定 $^{[18]}$,土壤铵态氮 $^{(NH_4^+-N)}$ 、硝态氮 $^{(NO_3^--N)}$ 用 MgO-代氏合金蒸馏法测定 $^{[18]}$,微生



物量氮(MBN)、微生物量碳(MBC)质量分数采用氯仿熏蒸 K_2SO_4 浸提法测定 [18],可溶性有机氮(SON) 采用差值法计算,可溶性有机氮(SON) = 可溶性全氮(TSN) — 铵态氮(NH₄⁺-N) — 硝态氮(NO₃⁻-N)。利用 EM 50 数据收集系统(Decagon Devices, Inc., NE, USA) 监测土壤温度与水分体积分数数据,每间隔 10 min 自动记录 1 次数据 [15]。

1.4 计算方法

不同土层可溶性氮组分密度计算公式为:

$$S_i = C_i \times \rho_i \times D_i \times 1000 \tag{1}$$

式中: S_i 为不同处理下第i层土壤可溶性氮组分密度, kg/hm^2 ; C_i , ρ_i , D_i 分别为第i层土中对应的可溶性氮组分氮质量分数,mg/kg;土壤体积质量, g/cm^3 ;土层厚度,cm; $0\sim20$ cm土层可溶性氮组分密度为各土层可溶性氮组分密度之和。

1.5 数据处理

数据处理利用 Excel 2020 和 SPSS 20.0 软件进行计算和统计分析,采用 Origin 2022 软件绘制图表。数据进行单因素方差(One-way ANOVA)分析,Duncan 多重比较法进行差异显著性分析,统计显著性水平为p<0.05。图表中所有数据均表示为平均值土标准误(Mean \pm SE)。

2 结果与分析

2.1 土壤温度和水分体积分数变化

不同处理下土壤温度和水分体积分数随时间推进,表现出较为一致的规律(图 1)。具体而言,5—8月 N1、N2处理下土壤温度均高于 CK 处理,从 8月 开始, CK 处理下的土壤温度均大于 N1、N2 处理,整体来看,3 种处理的土壤温度平均值表现为 N2(15.57 $^{\circ}$ C)>CK(14.20 $^{\circ}$ C)>N1(12.92 $^{\circ}$ C);相较于 CK、N1、N2 的土壤水分体积分数分别增加 48.76%、48.24%。可见,氮添加增加土壤水分体积分数。

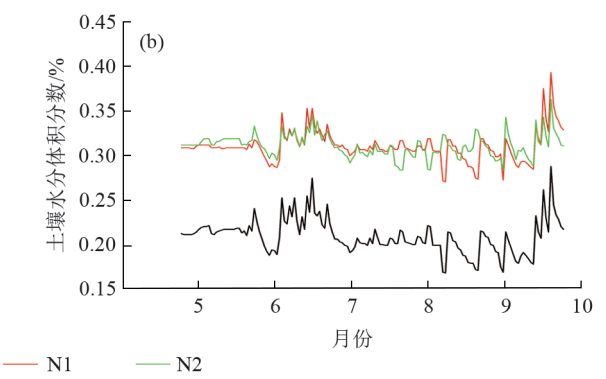


图 1 尕海湿地草甸土壤温度与水分体积分数变化特征

Fig. 1 Characteristics of soil temperature and water content changes in wetland meadows in Gahai http://stbcxb.alljournal.com.cn

2.2 不同处理土壤全量和微生物生物量碳氮特征

由表1可知,土壤全量碳氮与微生物生物量碳氮 的时间动态变化显著(p<0.05)。具体而言,不同处 理5月的TN质量分数总体高出其余时期的 53.57%~58.57%。5月的TN质量分数最高,比6、7、 8、9月分别提高53.57%、58.21%、58.57%、54.29%。 7月的 SOC 质量分数最高,比5、6月分别增加 20.72%、15.53%。各时间段土壤的 MBC 和 MBN 变 化明显,其中7月的CK处理下MBC是取样时期最 高,为512.46 g/kg,与其他时间相比,最高增加38倍 左右。但与 MBC 变化相比, MBN 质量分数在相同 处理中变幅较小,其中,CK处理的MBN质量分数均 大于N1和N2处理。氮添加抑制土壤MBN质量分 数的增加。

表 1 不同处理土壤全量和微生物生物量碳氮特征

Table 1 Characteristics of soil total and microbial biomass carbon and nitrogen in different treatments

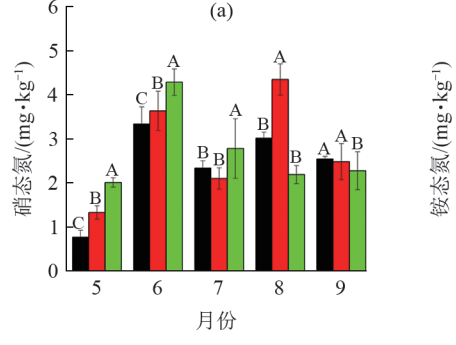
	Table 1 Cha	aracteristics of soil total	and microbial biomass ca	rbon and nitrogen in differ	ent treatments g/kg
月份	处理	TN	SOC	MBC	MBN
	CK	2.80±0.04A	$32.78 \pm 2.37B$	$202.47 \pm 9.41B$	57.83±4.99A
5	N1	$2.69 \pm 0.20 A$	$39.00 \pm 0.39B$	203.73 ± 48.22 BC	$31.56 \pm 6.46 A$
	N2	$2.37 \pm 0.06 A$	$33.97 \pm 2.18 \text{AB}$	$208.14\!\pm\!46.49B$	$26.44 \pm 3.37 A$
	CK	1.30±0.07B	34.93±0.43AB	446.67±92.06A	45.89 ± 5.99 A
6	N1	$1.72 \pm 0.05 B$	$42.43 \pm 0.25 A$	$416.31\!\pm\!76.48A$	$22.08 \pm 11.13 \text{AB}$
	N2	$1.39 \pm 0.09 B$	$37.97 \pm 0.44 A$	$319.70 \pm 57.05 A$	$7.49 \pm 0.92 B$
	CK	1.17±0.03C	41.35 ± 3.81 A	$512.46 \pm 62.57 A$	55.47 ± 21.64 A
7	N1	$1.35 \pm 0.10C$	35.74 ± 0.05 C	$272.10 \pm 13.95 B$	$27.13 \pm 5.00 AB$
	N2	$1.26 \pm 0.05 B$	$34.46 \pm 0.98 AB$	$270.64 \pm 7.46 \text{AB}$	$31.36 \pm 6.04 A$
	CK	$1.16 \pm 0.02 C$	$28.91 \pm 1.25B$	34.20 ± 11.85 C	$54.63 \pm 2.29 A$
8	N1	$0.98 \pm 0.09 D$	$36.75 \pm 1.78 BC$	$99.37 \pm 16.10 \text{CD}$	$30.37 \pm 9.43 A$
	N2	$1.18 \pm 0.04 B$	$32.64 \pm 0.07 B$	$34.14 \pm 4.82C$	$7.22 \pm 0.09 B$
	CK	$1.28 \pm 0.03 BC$	$40.83 \pm 1.18 A$	12.87 ± 3.50 C	$10.94 \pm 3.89 \mathrm{B}$
9	N1	$1.28 \pm 0.01 CD$	$42.15 \pm 0.35 A$	$14.02 \pm 1.15 D$	$3.79 \pm 0.59 B$
	N2	$1.24 \pm 0.08B$	$32.91 \pm 1.91 A$	14.81 ± 0.85 C	6.90±0.20B

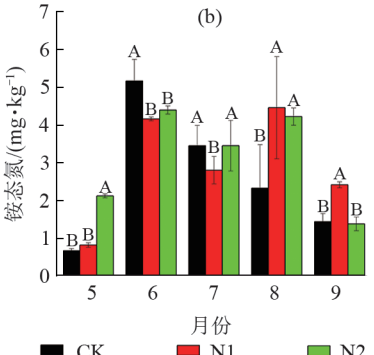
注:表中数据为平均值士标准差;同列不同大写字母表示各个时间段不同氮添加处理的差异显著(p<0.05)。

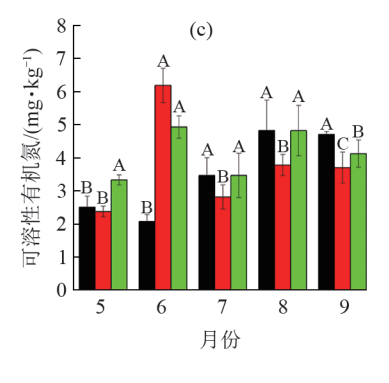
2.3 土壤可溶性氮组分质量分数变化

由图2可知,各时期的可溶性氮组分在不同处 理间均存在显著性差异(p<0.05)。与CK相比, NO₃-N质量分数在N1处理下的5月、6月、8月显著 增加 8.83%~73.06%(p<0.05),在6月出现最大值, 其余时段减少2.32%~10.13%。N2处理下的5月、 6月、7月显著增加18.99%~30.31%(p<0.05),其余 时段减少10.46%~27.54%。而NH₄+-N质量分数 变化较为一致,在N1和N2处理下,NH4+-N质量分 数均呈先增加后减小趋势,其中,N1在8月出现最

大值(4.46 mg/kg), N2在6月出现最大值(4.40 mg/kg)。施氮处理的SON质量分数变化相较于 CK更为明显,在整个时期内,N1处理的SON质量 分数增幅为-5.23%~199.00%,N2处理的增幅为 -12.40%~138.00%, N1和N2均在6月出现SON 最大值,分别为6.17、4.91 mg/kg。总体而言,N1相 较于CK总体平均提升NO3-N、NH4+-N质量分数 的 15.76%、12.81%, N2 相 较 于 CK, NO₃-N、 NH_4^+ -N 质量分数总体平均分别提升 12.19%、 19.19%。







注:图中大写字母表示各个时间段不同氮添加处理的差异显著。下同。

图 2 不同时间土壤 NO、T-N、NH、T-N和 SON质量分数

Fig. 2 Soil NO₃-N, NH₄+N and SON contents at different times http://stbcxb.alljournal.com.cn

2.4 土壤可溶性氮组分密度变化

由图 3 可知,不同时期的可溶性氮组分密度在不同处理下均存在显著性差异(p<0.05)。其中,NO₃-N密度变化为 36.61~92.41 kg/hm²,NH₄+-N密度变化为 10.84~91.18 kg/hm²,SON密度变化为 44.15~106.14 kg/hm²。相较于 CK,N1处理 NO₃-N密度提升 2.02%,并在 8 月提升最高。N2处理 NH₄+-N提升

密度 1.87%,并在 8 月提升最高。 N1 处理 SON 提升密度 2.20%,并在 6 月提升最高。从整体的时空变化而言, NO_3 - N密度在不同处理下均呈波浪式波动,而 NH_4^+ - N密度和 SON 密度变化仅在 CK 处理呈先增高后降低趋势,N1 和 N2 处理波动范围较大。因此,3 种氮添加处理在 5 个时间段间土壤可溶性氮组分组成以 SON 为主, NO_3 - N次之, NH_4^+ - N密度最低。

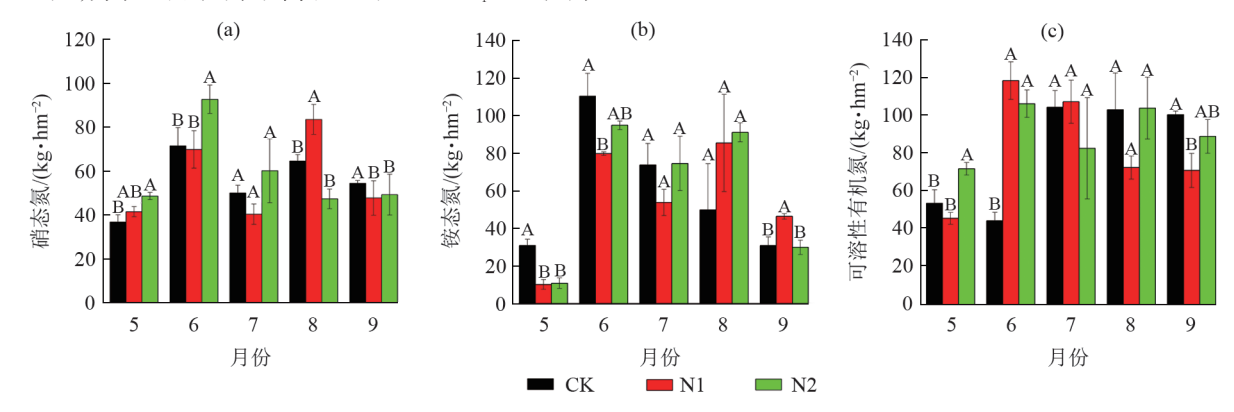


图 3 不同时间土壤可溶性氮组分密度

Fig. 3 Densities of soil soluble nitrogen fractions at different times

2.5 可溶性氮组分占总氮比例的变化

不同处理土壤 NO_3^- -N/TN 比例在同一时间内间存在显著性差异(p<0.05),并且在不同时期波动范围较大。值得注意的是,与 CK 相比,5月 N1 和 N2 处理的土壤 NO_3^- -N/TN 比例分别增加 90.00%、260.00% (图 4)。但 N1 在 7月显著减少 21.10%, N2 在 8月显著降低 27.81%。 N1 和 N2 处理的土壤 NH_4^+ -N/TN 均在

6—7月分别减少 $27.30\% \sim 38.76\%$ 、 $6.28\% \sim 20.07\%$,但在其余时段,分别增加 $33.33\% \sim 141.33\%$ 、 $1.87\% \sim 322.22\%$ 。 N1 和 N2 的 SON/TN 均在 5—6 月增加 $6.25\% \sim 130.90\%$ 、 $84.38\% \sim 124.81\%$ 。其余时间分别减少 $0.93\% \sim 21.64\%$ 、 $2.08\% \sim 27.92\%$ 。总体而言,NO₃-N/TN表现为 N1>CK>N2。 NH₄+-N/TN 和 SON/TN表现为 N1>N2>CK。

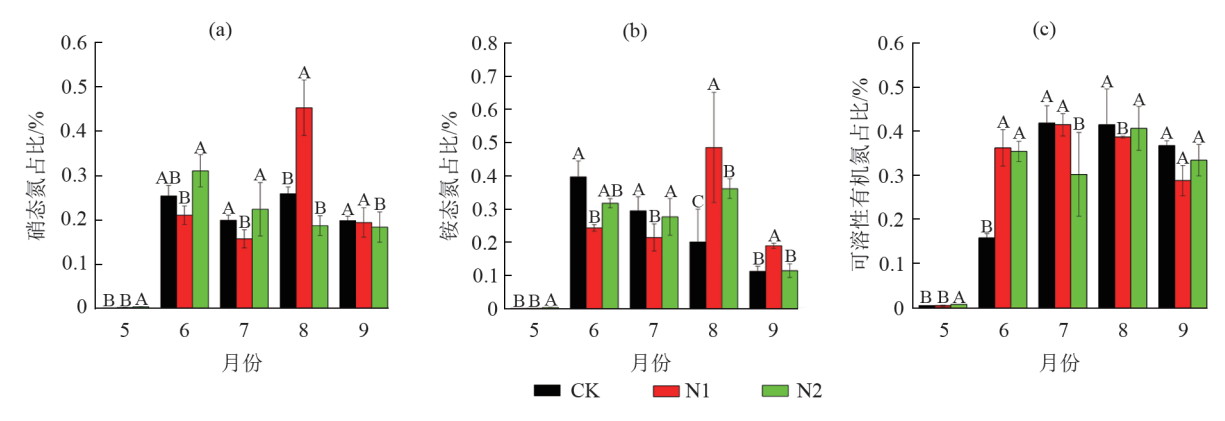


图 4 不同时间土壤可溶性氮组分占全氮比例

Fig. 4 Proportions of soil soluble nitrogen fractions to total nitrogen at different times

2.6 可溶性氮组分与土壤全氮、微生物生物量氮相 关性

由表2可知,CK处理下,NO₃-N与TN呈显著相关;NH₄+-N与MBC呈显著相关;温度与SON呈显著正相关;SON与TN、MBC呈显著相关。N1处理下,NO₃-N、NH₄+-N均与TN呈显著相关;SON与土壤基础指标无相关性。N2处理下,NO₃-N与SOC、MBC呈显著相关。

通过 PCA 分析可得,氮添加处理下土壤可溶性氮组分、SOC、TN、MBN、MBC、水温条件的聚类分布情况(图 5)。 PCA 分析可知,第 1 轴和第 2 轴的解释率分别为 35.4% 和 22.0%,累计解释率为 57.4%,能够解释总变异性。其中 NO_3 -N、 NH_4 +-N与 SOC、SON、温度呈显著正相关,与水分呈正相关。 NO_3 -N、 NH_4 +-N与 TN呈显著负相关,与 MBC、MBN呈负相关。

	表 2	不同处理 NO ₃ N	N、NH₄⁺-N、SON与土壤基	础指标的相关性	
Table 2	Correlation and	lycic of NO -N N	JH +-N and SON with soil	basic indices for differen	t tran

Table 2 C	Correlation analys	sis of NO ₃ -N	, NH ₄ ⁺ -N and SON	with soil basic indices	for different treatments
-----------	--------------------	---------------------------	---	-------------------------	--------------------------

	指标	TN	SOC	MBC	MBN	水分	温度
СК	NO_3 -N	0.634^{*}	0.067	0.183	-0.081	-0.083	0.527
	NH_4^+ - N	0.215	-0.004	0.630^{*}	0.085	0.013	-0.017
	SON	-0.835**	0.265	-0.630^{*}	-0.082	-0.574	0.919^{*}
	NO_3 -N	-0.607^*	-0.050	0.090	-0.203	-0.191	0.712
N1	NH_4^+ - N	-0.661^{**}	-0.068	0.122	-0.157	-0.165	0.736
	SON	-0.351	0.100	0.511	0.158	0.125	0.274
N2	NO_3 -N	-0.240	0.662**	0.547^{*}	-0.345	0.010	-0.276
	$\mathrm{NH_4}^+$ -N	-0.348	0.313	0.340	-0.231	-0.552	0.356
	SON	-0.423	-0.004	0.279	-0.189	0.094	0.529

注:*表示在 p<0.05 水平上相关性显著(双尾);**表示在 p<0.01 水平上相关性显著(双尾)。

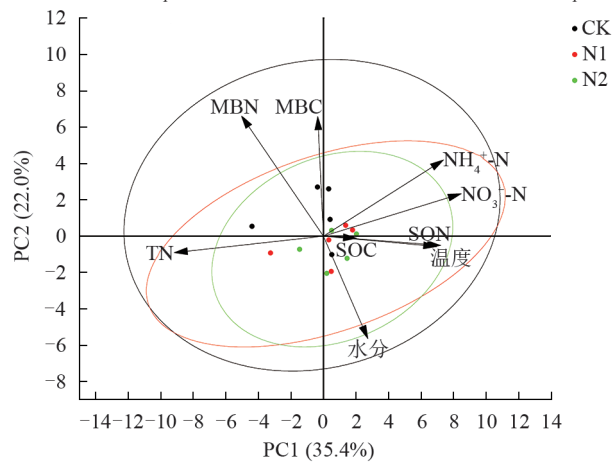


图 5 土壤可溶性氮组分与土壤养分指标的 PCA 分析 Fig. 5 PCA analysis of soil soluble nitrogen fractions and soil nutrient indicators

讨论

3.1 氮添加对尕海湿地草甸土壤可溶性氮组分的 影响

本研究结果显示,与CK相比,N1、N2处理均显 著影响土壤的 NO_3 - N_NH_4 +-N质量分数(图2),是 因为氮添加条件下造成氮富集的情况[19],使得土壤 可更多地依赖外源添加氮素进行氮循环,进而导致 土壤中的NO₃-N和NH₄+-N质量分数的变化。意味 着无论有机氮还是无机氮的投入,均有利于植被的 生长,主要由于氮添加缓解植被根际微生物的氮限 制[13],补充土壤中的氮源,还通过促进NH,+-N向硝 酸盐氮的转化,加速土壤中氮素循环。而氮素转化 是土壤可溶性氮组分更新的重要途径,有助于维持 土壤肥力和生态平衡。本研究也发现,N1处理下的 SOC 质量分数显著高于 N2 和 CK, N1 处理下土壤 NO₃-N高于N2处理,说明适度氮添加促进土壤 SOC质量分数的增加,促进植被对养分的吸收,进一 步导致氮转化过程发生变化,尤其是NO。-N质量分 数,与WU等[20]的研究结果一致。然而,N2处理下,

土壤 NH4+N质量分数较 CK 处理增加 19.19%,高于 N1处理,表明高氮添加有利于NH,+-N质量分数的 提升。主要是由于高氮添加致使高寒湿地草甸系统 发生"氮饱和"效应,影响NH,+-N向硝酸盐氮的转化 速率,造成土壤 NH,+-N 质量分数的累积。此外, N1、N2处理下的SON总体质量分数均与CK相比显 著提高(图 2)。SON的质量分数随着施氮量的增加, 与常月[21]的研究结果相反,可能是由于施氮提高土 壤水分体积分数,土壤水分质量分数增加直接影响 土壤气体交换和土壤温度,加速土壤的矿化过程,加 速无机氮和有机氮的转换,增加土壤中的可溶性。

值得注意的是,CK处理下,SON与MBC间存在 显著负相关(表2),而N1与N2处理下并不存在。说 明氮添加可能影响土壤微生物群落和结构,进而改 变土壤对养分的可用性[19]。本研究也显示,CK处理 下,较低的MBC/MBN意味着微生物较容易利用土 壤中的氮,加速无机氮的利用,减缓 SON的积累[22], 进一步证明上述推断。低氮添加(N1)提供较丰富氮 源来促进微生物活动,而不至于使氮成为限制性因 素,进而促进有机物的分解和可溶性有机氮的释放, N1处理下TN与NO3-N、NH4+-N的质量分数呈显 著负相关现象相吻合(图5),进一步确认此释放机 制。也说明低氮添加湿地土壤微生物及植被活动能 够很好地适应外界氮源的输入,而不需要进行土壤 内部复杂的生化活动。但CK则仍按照原有途径进 行生化反应,致使TN与NO₃-N呈显著正相关。

氮添加导致湿地草甸土壤可溶性氮组分改变的 同时影响土壤可溶性氮其组分密度与占比,提高氮 素的利用。本研究发现,NO3-N/TN、NH4+N/TN 的变化幅度远高于SON/TN,是由于湿地植物生长 过程中,其氮素营养主要来源于对无机氮的吸收利 用,土壤中NO、-N/TN、NH,+-N/TN的变幅较大;说 明在高寒湿地草甸中植被对NO3-N和NH4+-N的吸 收利用远高于 SON,与 GELFAND 等^[23]研究结论一致。高寒湿地草甸土壤的 C/N 比部分高于微生物活动的最佳范围(25:1)^[24],表明本研究区域微生物代谢活性相对较低,促进有机质的保存,从而抑制土壤氮素的矿化过程。但 N1 处理下较高的可溶性氮组分占 TN 比例均优于其他处理,表明在湿地草甸土壤矿质化作用受限时,适度外源施氮可直接促进土壤的氮素循环,有利于土壤可溶性氮组分的转化积累。也有研究^[14]证明,低氮添加在促进土壤可溶性有机氮的积累同时,也倾向于适宜于自身微生物群落的调整,以适应外界环境变化。

3.2 氮添加下尕海湿地草甸土壤可溶性有机氮组分 时间变化特征

本研究显示, $N1 \ N2$ 处理 NO_3 - N 质量 分数相较于 CK,在 5 月、6 月显著增加,是由于试验地处青藏高原东缘,在经历冻融循环过后,土壤开始逐步解冻,有机质的大量释放提供充分的土壤养分 [14],而 N1、N2 的人为氮添加,植被易吸收的 NH_4 NO_3 ,提供外源氮素的支持,但此时植被尚处于生长初期 [24],对氮素的吸收利用还相对较低,故而 5 月、6 月 NO_3 - N、 NH_4 - N 所量 分数积累较高。

氮添加处理显著提高土壤的水分体积分数,与 常月[21]的研究结果一致。高水分体积分数为土壤氮 素转化过程创造良好的生物化学环境。适宜的土壤 温度和水分体积分数促进土壤氮素转化过程,水分 与可溶性氮组分结合更密切(图5)。土壤温度和水 分状况是影响有机质矿化过程的重要因素,土壤的 可溶性氮组分随着土壤环境的改变而改变。本研究 中SON的最大值均出现在6月,SON的主要来源有 土壤有机质、土壤微生物及根系分泌物、外源氮素的 输入或土壤表层的凋落物释放[25],同时,6月的SOC 质量分数显著高于其他月份,并且同时期 MBC/ MBN 显著降低 47.39%~95.00%。可能与土壤微生 物对养分的需求平衡,特别对碳、氮的相对可用性密 切相关。首先,同时期较高的SOC质量分数使得微 生物群体得以增长和活跃,导致更多的有机氮被转 化为可溶性形式;其次,土壤微生物可能更加依赖氮 的免疫过程,即将无机氮(例如铵或硝酸盐)同化成 微生物体内的有机氮,从而提升土壤中可溶性有机 氮的水平;微生物在分解高碳有机物的过程中受到 氮的限制,可能减少氮的矿化(将有机氮转化为无机 形态的氦活动,转而更多地固定氮)。通过以上过 程,土壤中无机氮的释放速率降低,进而减少植物可 直接吸收的无机氮。SOC与SON间的转化关系与 团队前期[26]的研究结果一致。

本研究发现,在5月、7月、8月、9月,N1处理 SON小干 N2 处理(图 2),与王清奎等[27]的研究相悖。 可能是在N2处理下,SOC与NO、-N呈极显著正相 关(图5),一方面,作为土壤反硝化过程的底物,土壤 中NO。-N容易被植物吸收和利用[7],而土壤SOC作 为土壤反硝化过程的第一能量来源,提供能量并支 持反硝化过程;另一方面,长期的高氮添加N2处理 下,可能致使土壤中的氮素达到饱和状态,外源氮添 加已经成为 N 素的储存容器,饱和的氮素更需要土 壤SOC提供能量来支持土壤的一系列矿化过程。由 此可知,N2处理下,土壤氮源的利用方式不同,长期的 氮添加处理下,土壤本身的养分发生变化[28],直接影 响土壤的硝化和反硝化过程。而MBC与NO₃-N呈 显著正相关(图5),表明高浓度氮素的输入使得土壤 微生物与植物一方面可直接利用氮素的吸收;另一 方面,也展示出在高氮背景下,土壤生化反应对碳源 的强烈需求,以寻求打破在氮素充足的情况下的进 一步转化与储存。

土壤可溶性氮组分密度和可溶性氮组分占全氮 的比例,分别反映土壤中氮素的不同分布特征和转 化过程[9]。密度越大,表示土壤中可溶性氮的可用性 越高,可供植物和微生物利用的氮源也越丰富。其 中,可溶性氮组分与全氮的比例反映土壤中氮素的 转化效率和可用氮的储量相对于总氮的比例,揭示 土壤中氮的可变性和潜在供应能力[28]。本研究中, 土壤 NO₃-N、NH₄-N的密度质量分数变化呈先增后 减趋势,且N2处理均在8月出现最大值(图3),与朱 哲圣等[29]研究结果有一定差异,可能因为研究区属 于高寒湿地草甸区,年降水较少,对硝态氮的垂直淋 溶减少,且8月属于植被的生长旺期,对氮素的需求 更大[30],施肥促进植被对氮素的吸收增加土壤的保 水性,NH4+-N、NO3-N质量分数在外源施氮的情况 下增加,其密度也随之增大,即8月提高土壤可溶性 氮组分的密度,增加氮的有效性。

4 结论

1)高寒湿地草甸可溶性氮组分的平衡受到氮添加的显著影响,但对于可溶性氮组分的影响程度存在一定的差异。氮添加均促进土壤 NO_3 -N, NH_4 +-N, SON的质量分数,但N1主要促进 NO_3 -N的积累, N2主要促进 NH_4 +-N的积累。

- 2) 3种氮添加处理在5个时间段内的土壤可溶性氮组分密度以SON为主导部分,NO₃-N次之,NH₄+-N密度最低,表明氮添加可促进土壤的供氮能力,总体以N1提升2.20%的SON密度效果最佳。
 - 3) N1 处理下可溶性氮组分占全氮的比例最高

(0.20%~0.29%),表现较高的氮素利用率。再与环境因子的进一步分析表明,土壤可溶性氮组分特征的影响主要受土壤NO₃-N、NH₄+-N与TN质量分数影响,揭示在N2处理下,土壤可溶性氮组分受SOC及MBC碳源的强烈需求。

综上,3 a低氮添加提高高寒湿地草甸地区土壤的可溶性氮组分,促进土壤氮素转化,有利于促进湿地草甸植被生长和生产力提高,为退化高寒湿地草甸植被恢复过程中人为施氮提供一定的参考。然而,3 a周期可能对揭示氮饱和或植物一微生物适应性演替等长期效应存在一定不足,需要更长期的定位监测和布控,以便为未来氮沉降加剧背景下高寒湿地草甸氮循环过程提供基础数据。

参考文献:

- [1] 詹瑾, 丛安琪, 李玉霖, 等. 长期氮沉降和地上凋落物处理对半干旱区沙质草地表层土壤碳氮组分的影响[J]. 水土保持学报, 2023, 37(4): 227-234. ZHAN J, CONG A Q, LI Y L, et al. Effects of long
 - term nitrogen deposition and aboveground litter treatment on top soil carbon and nitrogen fractions in the semi-arid sandy grassland [J]. Journal of Soil and Water Conservation, 2023, 37(4):227-234.
- [2] LANG W G, ZHANG Y, LI X Y, et al. Phenological divergence between plants and animals under climate change [J]. Nature Ecology and Evolution, 2025, 9(2):261-272.
- [3] CHEN T, CHENG R M, XIAO W F, et al. Nitrogen addition enhances nitrogen but not carbon mineralization in aggregate size fractions of soils in a *Pinus massonia* plantation [J]. Frontiers in Forests and Global Change, 2024,7:e1240577.
- [4] 杨永凯, 马维伟, 陈好, 等. 尕海湿地区沼泽草甸土壤酶活性对短期增温施氮的响应[J]. 草地学报, 2022, 30(12): 3263-3271.
 - YANG Y K, MA W W, CHEN H, et al. Response of soil enzyme activities in marsh meadow in Gahai wet area to short-term warming and nitrogen addition [J]. Acta Agrestia Sinica, 2022, 30(12):3263-3271.
- [5] LI J P, MA H B, XIE Y Z, et al. Deep soil C and N pools in long-term fenced and overgrazed temperate grasslands in northwest China [J]. Scientific Reports, 2019,9(1):e16088.
- [6] 全智,刘轩昂,刘东.土壤可溶性有机氮研究进展[J].应用生态学报,2022,33(1):277-288.

 QUAN Z, LIU X A, LIU D. Research progress on soil soluble organic nitrogen[J]. Chinese Journal of Applied
- [7] 何玉姣,陈婵,朱小叶,等.湘中丘陵区不同植被恢复阶段林地土壤可溶性氮组分质量分数和密度[J].水土保

Ecology, 2022, 33(1):277-288.

- 持学报,2021,35(2):258-264.
- HE Y J, CHEN C, ZHU X Y, et al. Content and density of soil soluble nitrogen components at different vegetation restoration stages in hilly region of central Hunan Province, China [J]. Journal of Soil and Water Conservation, 2021, 35(2):258-264.
- [8] 肖春艳,胡情情,陈晓舒,等.基于文献计量的大气氮沉降研究进展[J].生态学报,2023,43(3):1294-1307. XIAO C Y, HU Q Q, CHEN X S, et al. Research progress of atmospheric nitrogen deposition based on bibliometrics [J]. Acta Ecologica Sinica, 2023, 43(3): 1294-1307.
- [9] 张忠学,宋健,齐智娟,等.控制灌溉氮肥减施对土壤氮素分布及氮素利用率的影响[J].东北农业大学学报,2022,53(3):42-49.
 - ZHANG Z X, SONG J, QI Z J, et al. Effects of reducing nitrogen fertilizer application on soil nitrogen distribution and nitrogen use efficiency under watersaving irrigation [J]. Journal of Northeast Agricultural University, 2022, 53(3):42-49.
- [10] TIAN J H, WEI K, CORON L M, et al. Effects of elevated nitrogen and precipitation on soil organic nitrogen fractions and nitrogen-mineralizing enzymes in semi-arid steppe and abandoned cropland [J]. Plant and Soil, 2017, 417(1):217-229.
- [11] TOMLINSON S J, CARNELL E J, DORE A J, et al. Nitrogen deposition in the UK at 1 km resolution from 1990 to 2017 [J]. Earth System Science Data, 2021, 13(10):4677-4692.
- [12] GUAN B, XIE B H, YANG S S, et al. Effects of five years' nitrogen deposition on soil properties and plant growth in a salinized reed wetland of the Yellow River Delta[J]. Ecological Engineering, 2019, 136:160-166.
- [13] MAWW, LIG, WUJH, et al. Response of soil labile organic carbon fractions and carbon-cycle enzyme activities to vegetation degradation in a wet meadow on the Qinghai-Tibet Plateau[J]. Geoderma, 2020, 377; e114565.
- [14] LI M J, GE Y Q, GANJURJAV H, et al. Warming intensified the effects of nitrogen addition on N₂O emissions from alpine meadow in the northern Qinghai – Tibet Plateau[J].Advances in Climate Change Research, 2024,15(1):101-112.
- [15] 陈好,马维伟,龙永春,等. 尕海湿地草甸土退化过程土壤 氮矿化演变特征[J].生态学报,2023,43(10):3906-3919. CHEN H, MA W W, LONG Y C, et al. Evolution characteristics of soil nitrogen mineralization during meadow soil degradation of Gahai wetland [J]. Acta Ecologica Sinica,2023,43(10):3906-3919.
- [16] ZHU J X, WANG Q F, HE N P, et al. Imbalanced atmospheric nitrogen and phosphorus depositions in

- China: Implications for nutrient limitation [J]. Journal of Geophysical Research: Biogeosciences, 2016, 121(6): 1605-1616.
- [17] JIA Y L, YU G R, HE N P, et al. Spatial and decadal variations in inorganic nitrogen wet deposition in China induced by human activity [J]. Scientific Reports, 2014, 4:e3763.
- [18] 鲍士旦.土壤农化分析[M].北京:中国农业出版社,2000. BAO S D. Soil and agricultural chemistry analysis [M]. Beijing: China Agriculture Press,2000.
- [19] 裴志福,红梅,尚星玲,等.氮添加对土壤可溶性有机碳和微生物生物量碳的影响:基于 Meta 分析[J].土壤,2024,56(5):1129-1136.
 PEI Z F, HONG M, SHANG X L, et al. Effect of nitrogen addition on soil dissolved organic carbon and microbial biomass carbon: A meta-analysis [J]. Soils, 2024,56(5):1129-1136.
- [20] WU J P, LIU W F, ZHANG W X, et al. Long-term nitrogen addition changes soil microbial community and litter decomposition rate in a subtropical forest [J]. Applied Soil Ecology, 2019, 142:43-51.
- [21] 常月. 凋落物和外源氮添加对森林土壤可溶性有机氮(DON)的影响[D]. 长沙: 中南林业科技大学, 2021. CHANG Y. Effects of litter and exogenous nitrogen addition on soluble organic nitrogen(DON) in forest soil [D]. Changsha: Central South University of Forestry and Technology, 2021.
- [22] 黄智军,谭世广,丁驰,等.施肥对杉木林不同土层温室气体排放的影响[J].森林与环境学报,2024,44(5):457-467. HUANG Z J, TAN S G, DING C, et al. Effects of fertilization on greenhouse gas emissions from different soil layers in a Chinese fir plantation[J].Journal of Forest and Environment,2024,44(5):457-467.
- [23] GELFAND I, YAKIR D. Influence of nitrite accumulation in association with seasonal patterns and mineralization of soil nitrogen in a semi-arid pine forest [J]. Soil Biology and Biochemistry, 2008, 40(2):415-424.
- [24] 赵路红,李昌珍,康迪,等.黄土丘陵区退耕地土壤可溶性氮组分季节变化与水热关系[J].生态学报,2018,38(2):689-697.
 - ZHAO L H, LI C Z, KANG D, et al. Dynamic change in soil soluble nitrogen under farmland converted to forest

- in the loess hilly region[J]. Acta Ecologica Sinica, 2018, 38(2):689-697.
- [25] 梁杏,孙立群,张鑫,等.无机态氮素转化机制及水土体氮源识别方法[J].环境科学,2020,41(9):4333-4344. LIANG X, SUN L Q, ZHANG X, et al. Mechanism of inorganic nitrogen transformation and identification of nitrogen sources in water and soil [J]. Environmental Science, 2020,41(9):4333-4344.
- [26] 杜佳团,李广,马维伟,等.黄土丘陵区4种典型植被土壤可溶性氮组分特征[J].水土保持学报,2021,35(6):251-257.
 - DU J N, LI G, MA W W, et al. Characteristics of soil soluble nitrogen components under four typical vegetations in the loess hilly areas [J]. Journal of Soil and Water Conservation, 2021, 35(6): 251-257.
- [27] 王清奎,田鹏,孙兆林,等.森林土壤有机质研究的现状与挑战[J].生态学杂志,2020,39(11):3829-3843. WANG Q K, TIAN P, SUN Z L, et al. Research on soil organic matter in forest ecosystems: Status and challenge[J].Chinese Journal of Ecology, 2020, 39(11): 3829-3843.
- [28] 郝颖琦,王玉英,吴鹏飞,等.青藏高原高寒生态系统土壤呼吸对氮添加的响应:Meta分析[J/OL].生态学杂志,2024:1-11.
 - HAO Y Q, WAANG Y Y, WU PF, et al. Response of soil respiration to nitrogen addition in alpine ecosystem of Qinghai-Tibet Plateau: Meta-analysis [J/OL]. China Industrial Economics, 2024:1-11.
- [29] 朱哲圣,夏炎,满秀玲.大兴安岭北部4种沼泽湿地土壤活性氮质量分数变化特征[J].东北林业大学学报,2023,51(7):135-141.
 - ZHU Z S, XIA Y, MAN X L. Variation characteristics of soil active nitrogen content in four swamp wetlands in the northern Da Hinggan Mountains [J]. Journal of Northeast Forestry University, 2023, 51(7):135-141.
- [30] 何玉姣.亚热带植被恢复对土壤可溶性氮组分及土壤氮矿化的影响[D].长沙:中南林业科技大学,2022. HE Y J. Effects of subtropical vegetation restoration on
 - soil soluble nitrogen components and soil nitrogen mineralization [D]. Changsha: Central South University of Forestry and Technology, 2022.